

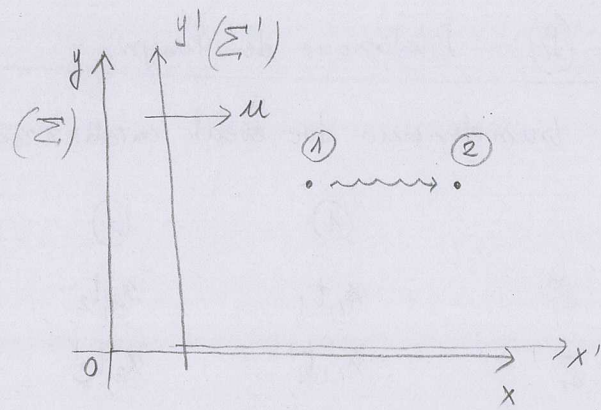
TRASFORMAZIONI DI LORENTZ

$$ct' = \gamma \left(ct - \frac{u}{c} x \right)$$

$$x' = \gamma \left(x - \frac{u}{c} ct \right)$$

$$y' = y$$

$$z' = z$$



dove $\gamma = \frac{1}{\sqrt{1 - (\frac{u}{c})^2}}$. In forme matriciali:

\leftrightarrow

$$\begin{pmatrix} ct' \\ x' \\ y' \\ z' \end{pmatrix} = \begin{pmatrix} \gamma & -\gamma \beta & 0 & 0 \\ -\gamma \beta & \gamma & 0 & 0 \\ 0 & 0 & 1 & 0 \\ 0 & 0 & 0 & 1 \end{pmatrix} \begin{pmatrix} ct \\ x \\ y \\ z \end{pmatrix}$$

$$\beta = u/c$$

N.B.

Nel limite di piccole velocità

$$t' = t$$

$$x' = x - vt$$

Le trasformazioni di Lorentz implicano che:

Ⓐ La velocità della luce è costante in tutti i sistemi di riferimento

Consideriamo un oggetto che si sposta da Ⓛ a Ⓜ. Allora:

①	②
in Σ : x_1, t_1	x_2, t_2
in Σ' : x'_1, t'_1	x'_2, t'_2

$$\Delta x = x_2 - x_1 ; \Delta t = t_2 - t_1 \quad v = \frac{\Delta x}{\Delta t}$$

$$\Delta x' = x'_2 - x'_1 ; \Delta t' = t'_2 - t'_1 \quad v' = \frac{\Delta x'}{\Delta t}$$

Se uso le trasformazioni di Lorentz:

$$x'_2 - x'_1 = \overset{\leftrightarrow}{L}(x_2 - x_1) \Rightarrow \begin{cases} c \Delta t' = \gamma(c \Delta t - \frac{u}{c} \Delta x) \\ \Delta x' = \gamma(\Delta x - \frac{u}{c} c \Delta t) \end{cases}$$

dove: $\underline{x} = (ct, x, y, z)$

Da ciò segue:

$$v' = \frac{c \Delta x'}{c \Delta t'} = \frac{c[\Delta x - \beta c \Delta t]}{c \Delta t - \beta c \Delta x} = \frac{c[\Delta x / \Delta t - \beta c]}{c - \beta \frac{\Delta x}{\Delta t}} = c \frac{v - \beta c}{c - \beta v} = \frac{v - u}{1 - \frac{u}{c} \cdot \frac{v}{c}}$$

- N.B. - se $v = c \Rightarrow$

$v' = \frac{c-u}{1-\frac{u}{c}} = \frac{c-u}{c-u} \cdot c = v$

(9)

- (B) - Dilatazione del tempo -

Consideriamo due eventi caratterizzati da:

	(1)	(2)	
Σ	x_1, t_1	x_2, t_2	con $x_2 = x_1$
Σ'	x'_1, t'_1	x'_2, t'_2	(considero un oggetto puntiforme fermo nel riferimento Σ)

Allora $c\Delta t' = \gamma(c\Delta t - \beta\Delta x) = \gamma c\Delta t \Rightarrow \Delta t' = \gamma\Delta t$
 $\gamma > 1$

- (C) - Contrazione distanze -

Considero due eventi caratterizzati da:

	(1)	(2)	
Σ	(x_1, t_1)	(x_2, t_2)	(considero un oggetto esteso fermo nel sistema di riferimento Σ . Per misurare la lunghezza in Σ' devo determinare le posizioni dei suoi estremi x'_1 e x'_2 a tempi uguali, i.e. $t'_1 = t'_2$)
Σ'	(x'_1, t'_1)	(x'_2, t'_2)	con $t'_2 = t'_1$

Per misurare la lunghezza in Σ' , scelgo tempi uguali:

$$c\Delta t' = \gamma(c\Delta t - \beta\Delta x) = 0 \rightarrow c\Delta t = \beta\Delta x$$

$$\Delta x' = \gamma(c\Delta t - \beta\Delta x)$$

Se uso questa relazione, ottengo:

$$\Delta x' = \gamma(\Delta x - \beta c\Delta t) =$$

$$\gamma(\Delta x - \beta^2 \Delta x) = \gamma(1 - \beta^2) \underbrace{\Delta x}_{\text{distanza spaziale tra i due eventi nel sistema } \Sigma}$$

$$= \frac{1}{\gamma} \Delta x$$

Infatti: $\gamma = \frac{1}{\sqrt{1 - \beta^2}} \Rightarrow \frac{1}{\gamma} = \sqrt{1 - \beta^2}$

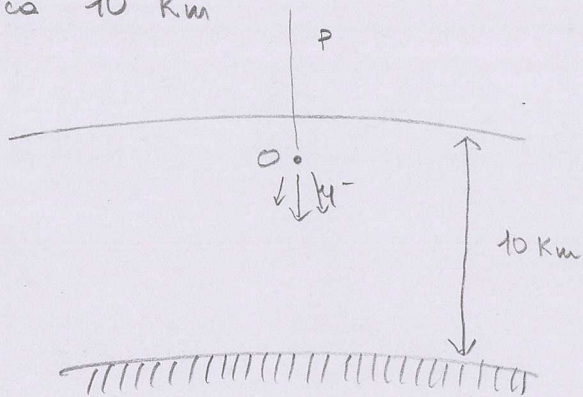
Es. decadimento dei muoni

L'atmosfera terrestre viene "bombardata" dai raggi cosmici, i.e. protoni (e nuclei di elio-4, etc.) che vengono accelerati in siti di produzione cosmica (e.g. resti di supernovae, etc.) ancora da identificare con certezza e pervadono l'universo.

I protoni dei raggi cosmici urtano i nuclei presenti nell'atmosfera terrestre (principalmente ossigeno) e producono varie particelle tra cui muoni.

$$\bar{M}^- = \text{particella carica negativamente instabile} \quad \tau_M = 2 \cdot 10^{-6} \text{ s} \quad m_M \approx 200 \text{ MeV}$$

Lo spessore dell'atmosfera è pari a circa 10 Km



- Quanto spazio percorre un muone prima di decadere?

(A) Se non ci fosse la dilatazione del tempo

$$L = \tau_M \cdot v_M < \tau_M \cdot c = 2 \cdot 10^{-6} \text{ s} \times 3 \cdot 10^8 \text{ m} \cdot \text{s}^{-1} = 600 \text{ m}$$

I muoni non potrebbero raggiungere la Terra

(B) Tenendo conto della dilatazione del tempo - $\tau_M(v) \neq \tau_M(v=0)$

$$L = \tau_M(v_M) \cdot v_M = \tau_M(v=0) \cdot \gamma(v_M) v_M$$

$$\text{Se } \tau_M \cong (1 - \xi_M) c \rightarrow \gamma(v_M) = \frac{1}{\sqrt{1 - \frac{(1 - \xi_M)^2 c^2}{v^2}}} = \frac{1}{\sqrt{1 - 1 + 2\xi_M - \xi_M^2}} \cong \frac{1}{\sqrt{2\xi_M}}$$

$$L = \frac{(1 - \xi_M) \tau_M(0) c}{\sqrt{2\xi_M}} \cong 600 \text{ m} \cdot \frac{1}{\sqrt{2\xi_M}} \quad \left. \begin{array}{l} \text{Se } \xi_M = \frac{10^{-2}}{2} \\ L \sim 6000 \text{ m} \end{array} \right\}$$

DINAMICA (ad al ruolo della massa)

Le leggi della meccanica Newtoniana possono essere ricavate da:

(1) Principio di relatività (+ legge composizione delle velocità) -

(2) II legge di Newton -

$$(*) \vec{F}_{\text{TOT}} = m \frac{d\vec{v}}{dt} \quad m = \text{massa invariante delle particelle}$$

(3) III legge di Newton (Principio di Azione e reazione)

$$\vec{F}_{AB} = -\vec{F}_{BA}$$

$$\text{dir}(\vec{F}_{AB}) = \text{dir}(\vec{r}_{AB})$$

In un processo d'urto (i.e. in cui agiscono solo forze interne) -

$$\Rightarrow \begin{cases} \vec{P}_{\text{TOT}} = \text{conservato} \\ E_{\text{TOT}} = \text{conservato} \\ J_{\text{TOT}} = \text{conservato} \end{cases}$$

$$\text{dove } \vec{P} \equiv m\vec{v}$$

$$E = \frac{1}{2}mv^2$$

$$\vec{J} = \vec{F} \wedge \vec{P}$$

- N.B. - La relazione (*) è consistente con il principio di relatività solo se accettiamo la composizione classica delle velocità:

$$\vec{v}' = \vec{v} - \vec{u} \Rightarrow \frac{d\vec{v}'}{dt} = \frac{d\vec{v}}{dt}$$

Inoltre, la relazione (*) implica che, in presenza di una forza, le particelle possano essere accelerate ad una velocità $v > c$

Noto infatti che, in meccanica classica, l'energia cinetica di uno particello che si muove alla velocità della luce è finita:

$$E = \frac{1}{2}mc^2 = \Delta L - \text{Lavoro necessario per portare una particelle ferma a velocità } v = c$$

\Rightarrow La (2) deve essere modificata. Prescrizione di Feynman:

$$\vec{F}_{\text{TOT}} = m \frac{d\vec{v}}{dt} = \frac{d\vec{P}}{dt}$$

II Legge di Newton per sistemi dotati di massa variabile

$$\begin{aligned} \vec{P}_{\text{CLASSICO}} &= m\vec{v} \\ \Downarrow & \\ \vec{P}_{\text{REL}} &= m\gamma(v)\vec{v} \end{aligned}$$

con questo ipotesi

$$\vec{F} = \frac{d\vec{P}}{dt}$$

$$\vec{P} = m\gamma(v)\vec{v}$$

N.B.

$$N.B. \frac{dE}{dt} = \frac{dL}{dt} = \vec{F} \cdot \vec{v} = \frac{d\vec{P}}{dt} \cdot \vec{v}$$

$$\vec{F} = m\gamma(v) \frac{d\vec{v}}{dt}$$

Relazione di Poisson

Per un generico vettore $\vec{A}(t)$, la derivata può essere espresso nella forma:

$$\frac{d\vec{A}}{dt} = \frac{d|\vec{A}|}{dt} \hat{u}_A + \vec{\omega}_A \wedge \vec{A}$$

\hat{u}_A = versore diretto come \vec{A}

$\vec{\omega}_A$ = velocità "angolare" della rotazione di \vec{A}

$$\begin{aligned} \frac{dE}{dt} &= \frac{d\vec{P}}{dt} \cdot \vec{v} = \\ &= \left[\frac{d|\vec{P}|}{dt} \hat{p} + \hat{\omega}_p \wedge \vec{p} \right] \cdot \vec{v} = \\ &= \frac{d|\vec{P}|}{dt} |\vec{v}| \end{aligned}$$

questo vettore è
perpendicolare a \vec{v}

Da questa relazione segue che

$$\frac{dE(p)}{dp} = v$$

RELAZIONE
DI DISPERSIONE

Dove quindi deve essere:

$$\begin{cases} E \approx cp & \text{per } p \rightarrow \infty \\ E = \frac{p^2}{2m} + \text{cost} & \text{per } p \rightarrow 0 \end{cases}$$

Ricaviamo la relazione di dispersione utilizzando la prescrizione di Feynmann:

$$\begin{aligned} \frac{dE}{dt} &= \frac{d\vec{P}}{dt} \cdot \vec{v} = \frac{d}{dt} (m\gamma(v)\vec{v}) \cdot \vec{v} = \frac{m}{2\gamma(v)} \frac{d}{dt} \left[\gamma^2(v) \cdot v^2 \right] = \\ &= \frac{mc^2}{2\gamma(v)} \frac{d}{dt} \left[\frac{1}{(1-\beta^2(v))} \frac{v^2}{c^2} \right] = \frac{mc^2}{2\gamma(v)} \frac{d}{dt} \left[\frac{\beta^2}{1-\beta^2} \right] = \\ &= + \frac{mc^2}{2\gamma(v)} \cdot \frac{d}{dt} \left[\frac{1}{1-\beta^2} - 1 \right] = + \frac{mc^2}{2\gamma(v)} \frac{d}{dt} \left[\gamma^2 - 1 \right] \\ &= + \frac{mc^2}{2\gamma(v)} \cdot 2\gamma(v) \frac{d}{dt} [\gamma(v)] = \frac{d}{dt} [mc^2\gamma] \end{aligned}$$

$$E = mc^2\gamma + \underline{\text{cost}}$$

Otteniamo allora

$$E^2 = (mc^2)^2 \gamma^2 = (mc^2)^2 \left[\gamma^2 \beta^2 + 1 \right] = m^2 v^2 \gamma^2 + m^2 c^4 = c^2 p^2 + m^2 c^4$$

$$\gamma^2 = \frac{1}{1 - \beta^2} = \gamma^2 \beta^2 + 1$$

$$\boxed{\gamma^2(1 - \beta^2) \equiv 1}$$

La relazione di dispersione di una particella relativistica è:

$$\boxed{E = \sqrt{c^2 p^2 + m^2 c^4}} \quad (*)$$

$$\frac{dE}{dp} = \frac{1}{\cancel{c^2} \sqrt{c^2 p^2 + m^2 c^4}} \cancel{c^2 p} = c \cdot \frac{p}{\sqrt{p^2 + m^2 c^2}} = c \cdot \frac{1}{\sqrt{1 + \frac{m^2 c^2}{p^2}}} = c \cdot \left[\frac{cp}{E(p)} \right]$$

- N.B. -

(A) La meno nou è la costante di proporzionalità tra \vec{F} e $\frac{d\vec{v}}{dt}$
(il canotto stesso di fatto va in crisi)

(B) La meno è le quantità finiti che definiscono la relazione di dispersione della particelle considerata

(C) La relazione (*) è la più generale relazione di dispersione per un sistema relativistico mente invariante —

$$E^2 - c^2 p^2 = \underset{\text{relativistica}}{\text{invariante}} = m^2 c^4 \Rightarrow \text{proprietà intrinseca delle particelle}$$

Ogni "particella" (anche composta)
deve essere caratterizzata da un valore di m
se essa è relativisticamente invariante

↓
STESO VALORE IN
TUTTI I SISTEMI DI
RIF. INERZIALI

(4)

- RELAZIONE DI DISPERSIONE E MECCANICA QUANTISTICA -

Sappiamo che, in meccanica quantistica possiamo associare una funzione d'onda $\psi(\vec{r}, t)$ ad ogni particella.

L'equazione d'onda puo' essere ricavata considerando che

$$E \rightarrow i\hbar \frac{\partial}{\partial t}$$

$$\vec{p} \rightarrow -i\hbar \vec{\nabla} = -i\hbar \left(\frac{\partial}{\partial x}, \frac{\partial}{\partial y}, \frac{\partial}{\partial z} \right)$$

$$pc \gg mc^2$$

Quindi

$$E = \sqrt{p^2 c^2 + m^2 c^4} = \begin{cases} & \\ & \end{cases} = cp \\ pc \ll mc^2 = \frac{p^2}{2m} + mc^2$$

ULTRA-RELATIVISTICO ($m=0$)

$$\left(i\hbar \frac{\partial}{\partial t} \right)^2 \psi(\vec{r}, t) = +c^2 \left(i\vec{\nabla} \right)^2 \psi(\vec{r}, t)$$

$$\left(c^2 \frac{\partial^2}{\partial t^2} - \frac{\partial^2}{\partial x^2} - \frac{\partial^2}{\partial y^2} - \frac{\partial^2}{\partial z^2} \right) \psi(\vec{r}, t) = 0 \quad (*)$$

ONDA CHE PROPAGA CON VELOCITA' = C

Più in generale:

$$\left(\frac{\partial^2}{c^2 \partial t^2} - \frac{\partial^2}{\partial x^2} - \frac{\partial^2}{\partial y^2} - \frac{\partial^2}{\partial z^2} + m^2 c^4 \right) \psi(\vec{r}, t) = 0 \quad (**)$$

NON RELATIVISTICO ($pc \ll mc^2$)

$$i\hbar \frac{\partial}{\partial t} \psi(\vec{r}, t) = -\frac{\hbar^2}{2m} \left(\frac{\partial^2}{\partial x^2} + \frac{\partial^2}{\partial y^2} + \frac{\partial^2}{\partial z^2} \right) \psi(\vec{r}, t) + mc^2 \psi(\vec{r}, t) \quad (***)$$

↓
non produce effetti fisici

N.B. A) le equazioni (*) e (**) sono equazioni del secondo ordine rispetto alle derivate temporali, mentre (***) è una equazione del primo ordine (problema delle soluzioni ad "energie negative" per le equazioni relativistiche → ANTPARTICELLE)

B) $E = \hbar \omega$ $V = \frac{dE}{dp} = \frac{d\omega}{dk} =$ velocità di gruppo del pacchetto d'onda

$$\vec{p} = \hbar \vec{k}$$

"EQUIVALENZA" MASSA ENERGIA

$$E = \sqrt{p^2c^2 + m^2c^4}$$

oppure

$$E = mc^2 \gamma$$

$$\gamma = \frac{1}{\sqrt{1 - v^2/c^2}}$$

Nei processi fisici, vale la conservazione dell'energia -

$$E_{\text{iniziale}} = \sum_i E_i$$

$$E_{\text{finale}} = \sum_f E_f$$

$$E_{\text{iniziale}} = E_{\text{finale}}$$

- N.B. - • La quantità conservata è l'energia, non la massa
- Posso trasformare (l'energia associata a) la massa di un corpo in altre forme di energia

Un corpo fermo ha una energia direttamente proporzionale alla sua massa

$$E = \sqrt{p^2c^2 + m^2c^4} \xrightarrow{p \rightarrow 0} E = mc^2$$

$$E_s - \text{elettrone } m_e = 0.91 \times 10^{-27} \text{ g}$$

$$E_0 = m_e c^2 = (0.9 \times 10^{-27} \text{ g}) \times (9 \times 10^{20} \text{ cm}^2 \text{ s}^{-2}) \\ = 8 \times 10^{-7} \text{ erg} = 8 \times 10^{-14} \text{ joule}$$

$$1 \text{ eV} \equiv 1.6 \times 10^{-19} \text{ joule}$$

$$E_0 = m_e c^2 \approx 8 \times 0.6 \times 10^{-14} \times 10^{19} \approx 0.5 \times 10^6 \text{ eV} = 0.5 \text{ MeV}$$

Allo stesso modo:

$$m_p c^2 = 938.3 \text{ MeV}$$

$$m_n c^2 = 939.6 \text{ MeV}$$

Decadimento del muone

Sappiamo che la massa del muone è pari a $m_\mu c^2 = 106 \text{ MeV}$, qual è l'energia minima che deve avere per attraversare l'atmosfera senza decadere, i.e. percorrere 10 km prima di decadere.

$$L = T_\mu(0) \tau(v_\mu) v_\mu = 600 \text{ m} \quad \tau(v_\mu) \frac{v_\mu}{c}$$

Abbiamo quindi che $\tau(v_\mu) \frac{v_\mu}{c} \gtrsim 16$ (richiediamo $L_\mu \gtrsim 10 \text{ km}$)

↓

$$\tau(v_\mu) \gtrsim 16 \quad \text{encundo} \quad \frac{v_\mu}{c} \leq 1$$

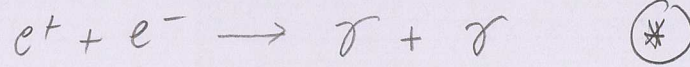
{ - N.B. - Quando $\tau \gg 1$, allora $v/c \approx 1$, encundo:

$$\tau = \sqrt{1 - \left(\frac{v}{c}\right)^2}$$

Sappiamo che $\tau = \frac{E}{mc^2} \rightarrow E_\mu \gtrsim (m_\mu c^2) \cdot 16 = 106 \text{ MeV} \cdot 16 \approx 1600 \text{ MeV}$

- Muoni con energia minore di 1.6 GeV decadono in atmosfera
- Muoni con energia superiore a 1.6 GeV arrivano a Terra

- Esempio -



- e^+ = positrone = antiparticella dell'elettrone
- γ = fotone = particella associata alla radiazione elettromagnetica.

$$\begin{cases} M_{e^+} = M_{e^-} = 0.511 \text{ MeV}/c^2 \\ q_{e^+} = -q_{e^-} \end{cases}$$

I fotoni hanno massa nulla $M_\gamma = 0$

Dualismo
onda - corpuscolo

$$E = \hbar \omega$$

$$\vec{p} = \hbar \vec{k}$$

$$\vec{R} = \text{vettore d'onda} = \frac{2\pi}{\lambda} \hat{u}$$

verso
propagazione
dell'onda

+ Le onde elettromagnetiche
propagano a velocità c

$$\omega = c |\vec{k}|$$

$$\Rightarrow E = \hbar \omega = \hbar c |\vec{k}| = \vec{p}$$

Relazione Energia-Impulso
di una particella con
 $m = 0$

I protoni possono essere prodotti e.g. nella disintegrazione di nuclei radioattivi. Vengono poi rallentati attraverso urti con le altre particelle fino ad una energia dell'ordine di $KT \approx 0.03 \text{ eV}$ (sono praticamente fermi!). A questo punto può avvenire il processo (*)

(A) Quale è la direzione dei fotoni (osservazione \vec{P}_{tot})?

$$\vec{P}_{\text{ini}} = \underbrace{\vec{P}_{e^-} + \vec{P}_{e^+}}_{= \vec{0}} = \vec{P}_{\tau_1} + \vec{P}_{\tau_2} = \vec{P}_{\text{fin}} \Rightarrow \vec{P}_{\tau_1} = -\vec{P}_{\tau_2}$$

$$|\vec{P}_{\tau_1}| = |\vec{P}_{\tau_2}|$$

(B) Quale è l'energia dei fotoni:

$$E_{\text{ini}} = \underbrace{E_{e^-} + E_{e^+}}_{2m_e c^2} = E_{\tau_1} + E_{\tau_2} = 2cP_\tau \Rightarrow cP_\tau = E_\tau = m_e c^2$$

$$P_\tau = |\vec{P}_{\tau_1}| = |\vec{P}_{\tau_2}|$$

- Esempio -



- $M_p c^2 = 938.2 \text{ MeV}$

$$M_d c^2 = 1875.6 \text{ MeV}$$

$$M({}^3\text{He}) c^2 = (M_p + M_d) c^2 - Q \quad Q = 5.5 \text{ MeV}$$

- Applichiamo la conservazione dell'energia -

$$E_p + E_d = E_{{}^3\text{He}} + E_\gamma \quad (*)$$

- Ipotizziamo che la collisione avvenga tra due nuclei "quoni fermi" (i.e. con energia cinetica $\ll Q$)

$$E_p + E_d \cong (M_p + M_d) c^2 = E_{{}^3\text{He}} + E_\gamma$$

- La sola relazione (*) non è sufficiente a chiudere il sistema (ho due incognite $\vec{P}_{{}^3\text{He}}$ e \vec{P}_γ). Sfrutto la conservazione dell'impulso:

$$\vec{0} = \vec{P}_{{}^3\text{He}} + \vec{P}_\gamma \quad (**)$$

Ottengo allora

Form. Non Rel. delle relazioni energia-impulso

$$(M_p + M_d) c^2 = M_{{}^3\text{He}} c^2 + \left(\frac{P_{{}^3\text{He}}^2}{2M_{{}^3\text{He}}} \right) + P_{\gamma c}$$

TRASCURABILE

$$\vec{0} = \vec{P}_{{}^3\text{He}} + \vec{P}_\gamma \Rightarrow |\vec{P}_{{}^3\text{He}}| = |\vec{P}_\gamma|$$

$$\text{Si ottiene allora } cP_f = E_f = (M_p + M_d - M_{^3\text{He}})c^2 = \\ = Q = 5.5 \text{ MeV}$$

NOTA: L'energia portata via dal fotone (energia liberata dalla reazione) è uguale alla differenza di massa tra i nuclei presenti nello stato iniziale ed il nucleo presente nello stato finale.

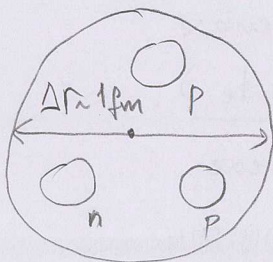
Energie di legame e "difetti di massa"

Considero un nucleo di ${}^3\text{He}$ indicando la sua massa con $m({}^3\text{He})$.
Un nucleo di ${}^3\text{He}$ è composto da 2 protoni ed 1 neutrone.
Mi chiedo:

$$m({}^3\text{He}) \stackrel{?}{=} 2m_p + m_n \quad (*)$$

In meccanica relativistica, la massa è l'energia della particelle nel suo sistema di quiete (a parte un fattore c^2)

$$E = \sqrt{p^2c^2 + m^2c^4} \xrightarrow[p=0]{} = mc^2$$



$$m({}^3\text{He}) = \frac{E_{{}^3\text{He}}(p=0)}{c^2}$$

Potrei riscrivere la relazione (*) nella forma:

$$E_{{}^3\text{He}}(p=0) \stackrel{?}{=} 2E_p(p=0) + E_n(p=0) \quad (**)$$

La relazione (**) non appare scattata perché:

- (A) Anche se il nucleo ${}^3\text{He}$ è fermo, i nucleoni nel suo interno si muovono

$$\Delta r \approx 1.2 \text{ fm} \times A^{1/3}$$

$$\left\{ \begin{array}{l} 1 \text{ fm} = 10^{-13} \text{ cm} \\ A = \text{Numero di nucleoni nel nucleo} \end{array} \right.$$

I nucleoni non possono essere perfettamente fermi. Il principio di indeterminazione di Heisenberg ci dice che se conosciamo la posizione di una particella con accuratezza Δr allora, se muove impulso ha una indeterminazione

$$\Delta p = \left[\langle p^2 \rangle - \langle p \rangle^2 \right]^{1/2} \stackrel{=0}{\geq} \frac{\hbar}{\Delta r} \Rightarrow p^2 \geq \frac{\hbar^2}{(\Delta r)^2}$$

(mediamente fermo)

$$E_{\text{kin}} = \frac{p^2}{2m} \geq \frac{\hbar^2 c^2}{(\Delta r)^2} \cdot \frac{1}{2mc^2} \sim 10 \text{ MeV}$$

(2)

(B) I nucleoni all'interno del nucleo interagiscono.
Esistono quindi un contributo all'energia del nucleo dovuto alle interazioni.

- ES - Interazione elettromagnetica \rightarrow Repulsione tra i due protoni

$$E_{\text{coul}} \sim \frac{1}{4\pi\epsilon_0} \frac{e^2}{\Delta r} = \frac{1.44 \text{ MeV} \cdot \text{fm}}{\Delta r} \sim \text{MeV}$$

- N.B. - Se ci fosse solo l'interazione elettromagnetica il nucleo non potrebbe essere stabile. Deve essere una interazione attrattiva (interazione forte) più intensa (nelle distanze piccole) che tiene insieme i nucleoni nel nucleo.

$$E_{\text{strong}} = ? \gtrsim \text{MeV}$$

$$E_{^3\text{He}}(p=0) = 2E_p(p=0) + E_n(p=0) + \underbrace{E_{\text{kin}} + E_{\text{coul}} + E_{\text{strong}}}_{\text{Altrimenti il nucleo non sarebbe stabile}}$$

$$m(^3\text{He})c^2 = 2m_p c^2 + m_n c^2 - B_d$$

$$B_d = \text{Energia legante} = \text{difetto di massa} > 0 \quad \left. \begin{array}{l} \\ \\ \end{array} \right\} \begin{array}{l} \text{Altrimenti} \\ \text{il nucleo} \\ \text{non sarebbe stabile} \end{array}$$

N.B.

$$\frac{B_d}{m(^3\text{He})c^2} \sim \frac{1 \text{ MeV}}{1 \text{ GeV}} \sim 10^{-3}$$

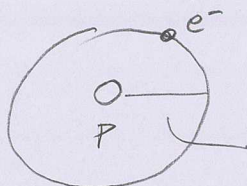
Per accorgersi del difetto di massa dobbiamo misurare le masse con una accuratezza dello 0.1 %

Perché non ci accorgiamo del difetto di massa negli atomi?

$$\left. \begin{array}{l} d_{\text{ATOMO}} = 1 \text{ \AA} = 10^{-8} \text{ cm} \\ d_{\text{NUCLEO}} = 1 \text{ fm} = 10^{-13} \text{ cm} \end{array} \right\}$$

Il raggruppamento precedente vale per tutti i sistemi legati (es. atomi, molecole, etc.).

Perché non ci accorgiamo del difetto di massa di un atomo o di una molecola?



$$r_H \sim 1 \text{ \AA} = 10^{-8} \text{ cm} = 10^5 \text{ fm}$$

- $E_{kin} \hat{=} \frac{p^2}{2m_e} = \frac{p^2}{2m_e} = \frac{(\hbar c)^2}{r_H^2} \cdot \frac{1}{2m_e c^2} = \frac{4 \cdot 10^{-6} \text{ MeV}^2}{4 \text{ MeV}} \sim 4 \text{ eV}$

$$\eta = \frac{m_e m_p}{m_e + m_p} \approx m_e$$

- $E_{coul} \approx -\frac{1}{4\pi\epsilon_0} \frac{e^2}{r_H} = \frac{1.44 \text{ MeV} \cdot \text{fm}}{10^5 \text{ fm}} \sim 10 \text{ eV}$

- $(m_p + m_e)c^2 \approx m_p c^2 \approx 1 \text{ GeV}$

$$\left[\frac{B_H}{(m_p + m_e)c^2} = 10^{-8} \right]$$

- ES - Considerando che nei processi chimici (interazioni elettromagnetiche) viene liberata circa $\Delta E/m = 1 \text{ eV}/1 \text{ amu}$ ($1 \text{ amu} \approx 1 \text{ mp} \approx 1 \text{ GeV}$
atomic mass unit) mentre nelle reazioni nucleari viene liberato circa $\Delta E/m = 1 \text{ MeV}/1 \text{ amu}$

- T
- (A) Quanto perde una bomba nucleare in grado di sviluppare 1 Mton \equiv equivalente energetico dell'esplosione di 10^6 tonnellate di tritolo
 - (B) Qual è la sorgente di energia del Sole?

(B) Qual è la sorgente di energia del Sole?

Consideriamo che il Sole ha: massa $M_{\odot} \cong 2 \cdot 10^{30} \text{ kg} = 2 \cdot 10^{33} \text{ g}$
raggio $R_{\odot} \cong 7 \cdot 10^8 \text{ m} = 7 \cdot 10^{10} \text{ cm}$

temperatura superficie - $T_{\text{eff}, \odot} \cong 6 \cdot 10^3 \text{ K}$

temperatura centrale - $T_{c, \odot} \cong 1.5 \times 10^7 \text{ K}$

luminosità - $L_{\odot} = 3.85 \times 10^{33} \text{ erg} \cdot \text{s}^{-1} = 3.85 \times 10^{26} \text{ W}$
(energia emessa per
unità di tempo)

→ Il Sole è fatto prevalentemente di idrogeno ionizzato.

Quanti nuclei di idrogeno (i.e. protoni) ci sono nel Sole?

$$M_H = M_p + M_e \cong M_p \left(1 + \frac{1}{2000} \right) \cong M_p \cong 1 \text{ amu} = 1.67 \times 10^{-27} \text{ kg} = \\ = 1.67 \times 10^{-24} \text{ g} = \\ \cong 0.998 \text{ GeV/c}^2$$

$$N_p = \frac{M_{\odot}}{M_p} = \frac{2 \times 10^{30} \text{ kg}}{1.67 \times 10^{-27} \text{ kg}} \cong 1.2 \times 10^{57}$$

→ Esprimiamo la luminosità del sole in MeV/year -

$$1 \text{ year} = 365 \times 24 \times 60 \times 60 \cong 3.14 \times 10^7 \text{ s}$$

$$1 \text{ joule} = \frac{1}{1.6 \times 10^{-19} \text{ eV}} \text{ eV} \cong 0.6 \times 10^{19} \text{ eV} = 0.6 \times 10^{13} \text{ MeV}$$

$$L_{\odot} = 3.85 \times 10^{26} \text{ W} = 3.85 \times 3.14 \times 10^7 \times 0.6 \times 10^{13+26} \text{ MeV/year} \\ \cong 7 \times 10^{46} \text{ MeV/year}$$

Consideriamo che il Sole ha un'età $t_{\odot} \cong 4.5 \cdot 10^9 \text{ year}$

$$\Delta E \sim L_{\odot} t_{\odot} \cong 7 \times 10^{46} \text{ MeV/year} \cdot 4.5 \times 10^9 \text{ year} = 3 \times 10^{56} \text{ MeV}$$

- L'energia emessa ΔE per particelle ($N_p = \#$ particelle) presenti nel Sole è data da:

$$\frac{\Delta E}{N_p} = \frac{3 \times 10^{56}}{1.2 \times 10^{57}} \text{ MeV} \sim 0.25 \text{ MeV}$$

↑

Scalo tipico delle reazioni nucleari

nucleari - Questo quantitativo di energia può essere spiegato ipotizzando che parte dei protoni che costituiscono il sole abbiano stati coinvolti in reazioni nucleari con guadagno energetico dell'ordine di 1 MeV

(N.B. - nelle reazioni chimiche il guadagno energetico è $\sim 1 \text{ eV}$)

Sono possibili altre sorgenti d'energia?

- Energia termica (i.e. il Sole emette energia raffreddandosi)

$$E_t \approx N_p K_B T_{c,0} \approx 10^{57} \cdot 10^3 \text{ MeV} \cdot 1.5 \approx 1.5 \times 10^{54} \text{ MeV} \approx (L_0 t_0) \cdot 10^{-2}$$

$$K_B T_{c,0} = 0.03 \text{ eV} \left(\frac{1.5 \times 10^7 \text{ K}}{300 \text{ K}} \right) \approx 1.5 \times 10^{7-2-2} \text{ K} = 10^3 \text{ eV}$$

- Energia gravitazionale (i.e. il Sole emette energia contraiendosi)

$$E_{grav} \sim \frac{GM_0^2}{R_0} \sim 2.4 \cdot 10^{54} \text{ MeV} \approx (L_0 t_0) \cdot 10^{-2}$$

- CONCLUSIONE - Se non ci fossero le reazioni nucleari il Sole non potrebbe essere stabile su tempi simili dell'ordine di $t_0 \sim 4.5 \times 10^9 \text{ year}$ (richiesti per lo sviluppo del sistema solare e della Terra) ma obblighevolere su tempi dell'ordine di $\sim 10^7 \text{ year}$.

Alcune caratteristiche nelle finche nucleare

Nucleo = insieme legato di protoni e neutroni

$$\left\{ \begin{array}{l} A = \text{Num. mass. atomico} = \text{numero di nucleoni (i.e. protoni e neutroni) nel nucleo} \\ Z = \text{Num. atomico} = \text{numero di protoni nel nucleo} \\ N = A - Z = \text{numero di neutroni nel nucleo.} \end{array} \right.$$

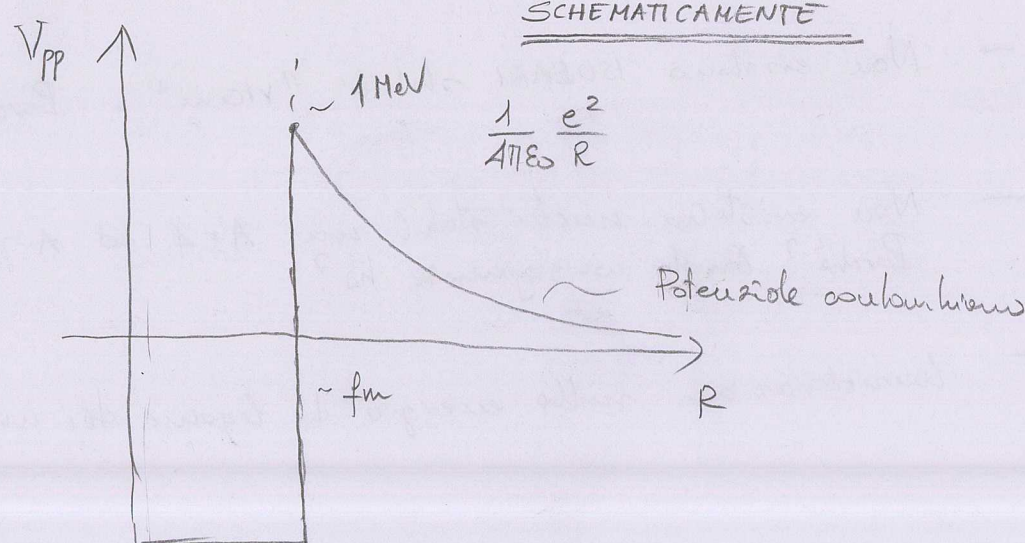
$$R_{\text{NUCLEI}} = (1.2 \text{ fm}) A^{-\frac{1}{3}} \quad \longrightarrow \quad \overline{r}_{\text{NUCLEONI}} = \left[\frac{A}{V_{\text{NUCLEO}}} \right]^{-\frac{1}{3}} = \\ = \left[\frac{A}{\frac{4}{3} \pi (1.2 \text{ fm})^3 A} \right]^{\frac{1}{3}} =$$

La distanza media tra nucleoni è costante e \ll costante ($\sim \text{fm}$)

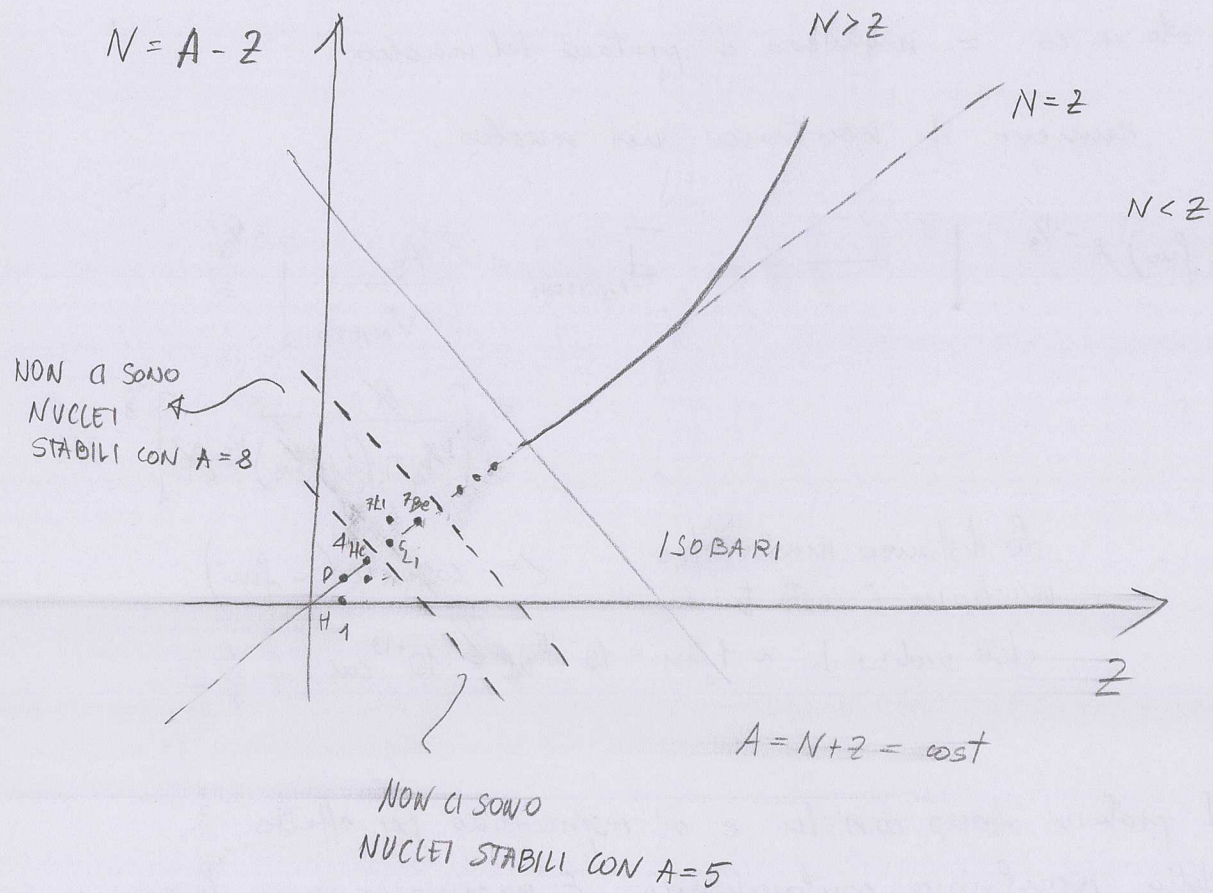
dell'ordine di $\sim 1 \text{ fm} = 10^{-15} \text{ m} = 10^{-13} \text{ cm}$.

- N.B. - I protoni sono carichi e si respingono per effetto delle repulsive coulombiane. È necessario una forza che stabilisca il nucleo (interazione forte). Questa interazione deve essere dominante a piccole distanze ($\lesssim \text{fm}$) e trascurabile (rispetto alla repulsione coulombiana) a distanze grandi ($\gg \text{fm}$)

Le interazioni forti tra nucleoni sono a corto raggio



Possiamo trovare nuclei stabili con un numero arbitrario di protoni e neutroni? NO



- (A) - I nuclei stabili si dispongono lungo la "valle d'ostinati" con $Z \approx N$. Perché?
- (B) - Per altri valori di A , le configurazioni stabili tendono ad avere $N > Z$. Perché?
- (C) - Non esistono ISOBARI stabili "vicini". Perché?
- (D) - Non esistono nuclei stabili con $A=4$ ed $A=8$. Perché? Quale conseguenza ha?
- (E) - Considerando solo energia e legge dei nuclei stabili

(A) I nuclei stabili non dispongono lungo le volte di stabilità con $Z \cong N$. Perché?

Le configurationi stabili sono quelle che minimizzano l'energia di legame (vedi anche punto C e D). Il fatto che lo zodiaco sceglie $2 \cong N$ dice qualcosa sulla natura delle interazioni forti.

"Simmetrie" delle
intervisioni forte
per oscuri $n \leftrightarrow p$

(N, p) è nucleoni \Rightarrow uguali dal punto di vista delle interazioni forti

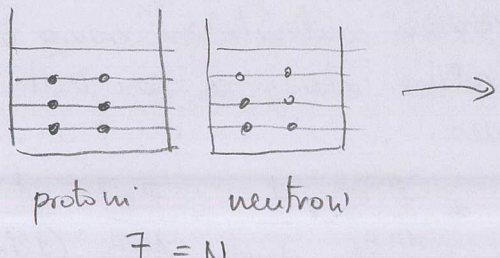
Se $|V_{ud}| > |V_{cd}|$, dovremmo avere nuclei fatti solo di neutroni.

Se $|V_{pp}| > |V_{uu}|$, " " " " " " " " ch. protóni

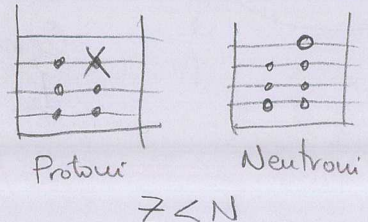
$\Rightarrow |V_{pp}| = |V_{uu}| = |V_{up}| \Rightarrow$ MA ALLORA:
 tutti gli ISOBARI dovrebbero avere lo stesso
 energie di legame (contando solo il numero
 totale di nucleoni)

Perche le nature sceglie $N=2$?

I protoni ed i neutroni sono fermioni di spin $\frac{1}{2}$
ed obbediscono al principio di esclusione di Pauli.

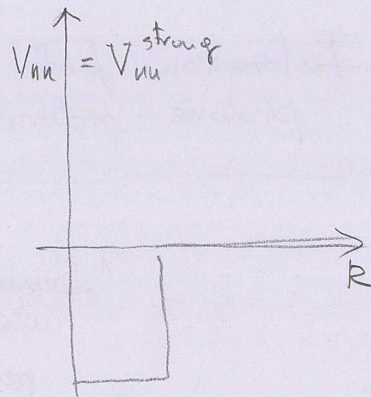
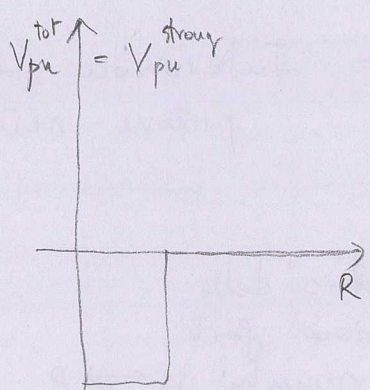
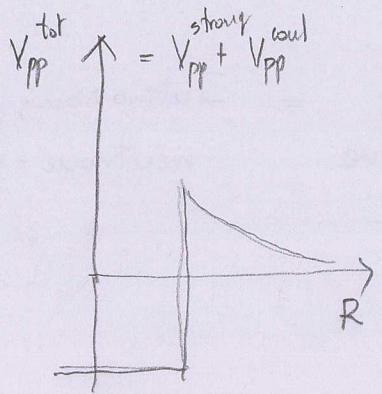


questo configurazione ha necessariamente una energia mag.



(B) Per molti valori di A , le configurazioni hanno $N > Z$.
Perché?

Dal ragionamento precedente dovrebbe seguire $Z = N$ per tutti i valori di A - Abbiamo, però, trascurato l'effetto dell'interazione elettromagnetica.

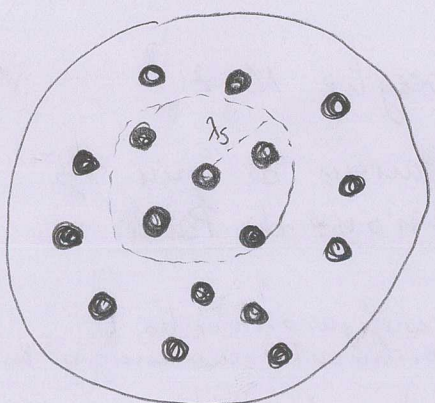


La repulsione coulombica è presente solo tra coppie di protoni e favorisce le configurazioni con $N > Z$

- CI CHIEDIAMO PERO': -

→ Perché l'effetto delle interazioni coulombiche è trascurabile per piccoli valori di A ed importante per grandi valori di A ?

- Le interazioni forti sono a corto raggio λ_{strong} . Ogni nucleone sente solo l'effetto dell'interazione con i nucleoni vicini ($d < \lambda_{strong}$)



$$\Delta E_{strong} = -A \cdot cost = -A R \cdot \rho \left(\frac{4}{3} \pi \lambda_{strong}^3 \right) \propto A$$

[effetti superficie]

$$S_{nucleo} = cost$$

- Le interazioni coulombiche sono a lungo raggio. Ogni protone interagisce con tutti gli altri protoni del nucleo

$$\Delta E_{coul} \propto \frac{Z^2 e^2}{4\pi \epsilon_0} \cdot \frac{1}{d_{nucleo}} = \frac{Z e^2}{4\pi \epsilon_0} \cdot \frac{1}{(12 fm) A^{1/3}} \propto A^{5/3}$$

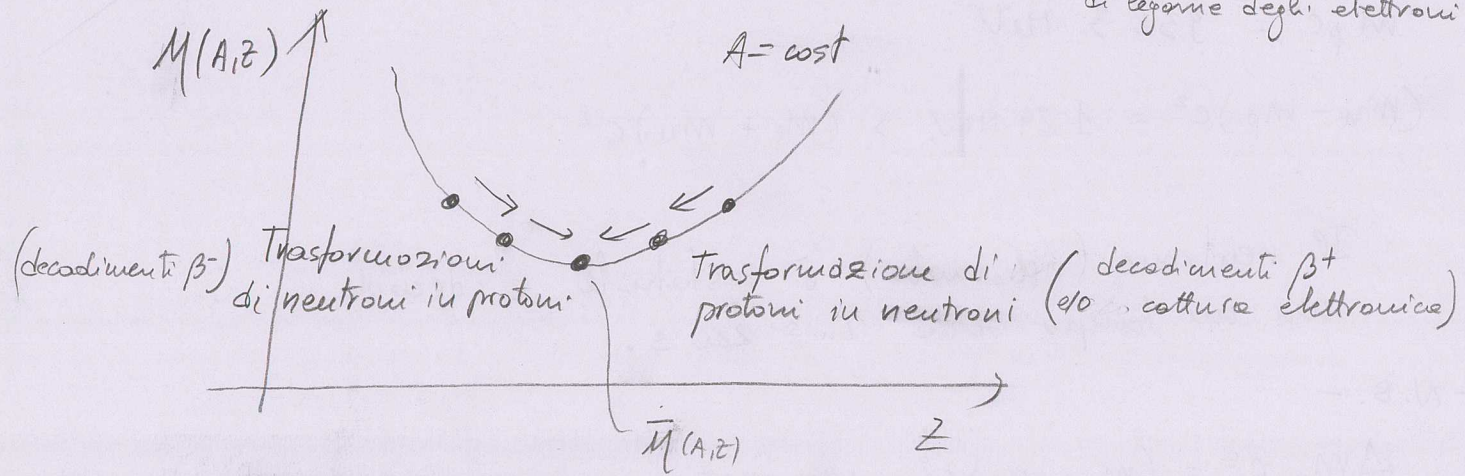
$$Z \approx A^{1/3}$$

(C) Non esistono isotoni vicini. Perché?

Per ogni valore di A fissato ($A = \text{numero totale di nucleoni}$), abbiamo che il nucleo stabile è quello più fermamente legato

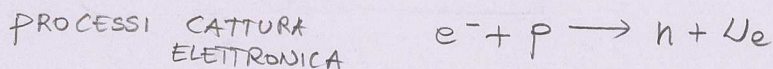
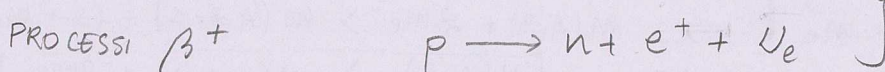
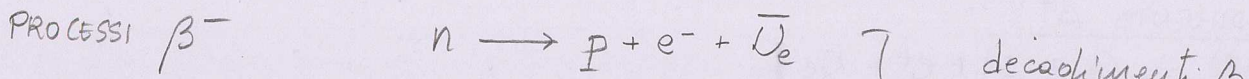
$$M(A, Z) = M_p Z + M_n (A - Z) - \frac{B(A, Z)}{c^2} \quad \rightarrow \begin{array}{l} \text{energia f.} \\ \text{legame del nucleo} \end{array}$$

$$U(A, Z) \equiv m(A, Z) + Zm_e \quad \rightarrow \begin{array}{l} \text{massa atomica} \\ (\text{trascuriamo le energie} \\ \text{di legame degli elettroni}) \end{array}$$



Se viene formato un nucleo con $m(A, Z) > \bar{m}(A, Z)$, allora questo è instabile e decade "verso" il nucleo più stabiamente legato.

Cioè è possibile perché le interazioni deboli possono mediare processi:

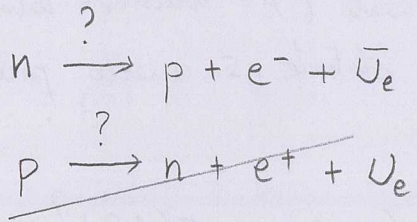


ν_e = neutrino elettronico $m_\nu = ? \lesssim 10^{-6} m_e$

$\bar{\nu}_e$ = antineutrino elettronico $Q_\nu = 0$ (PARTICELLA NEUTRA)

I processi avvengono in direzione "esotergico" (nel verso in cui il processo produce un rilascio di energia)

Es.



$$M_n c^2 = 939.6 \text{ MeV}$$

$$M_p c^2 = 938.3 \text{ MeV}$$

$$(M_n - M_p)c^2 = 1.29 \text{ MeV} > (m_e + m_{\bar{\nu}})c^2$$

Il neutrone (nel vuoto) è instabile e decade con un tempo scalo $T_n \approx 880 \text{ s}$.

- N.B. -

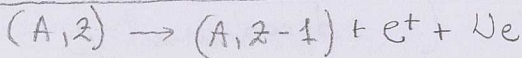
$$\Delta M_{np} c^2 = (M_n - M_p)c^2 = 1.29 \text{ MeV} \sim \text{energia di legame nucleare}$$

Si suppone che i neutrini ponano essere stabili nei nuclei

CONDIZIONI ENERGETICHE PER DECADIMENTI β^- , β^+ E PROCESSI DI CATTURA ELETTRONICA

$$\mu(A, z) \equiv m(A, z) + z m_e \quad \mu = \text{numero atomico}$$

DECADIMENTO β^+

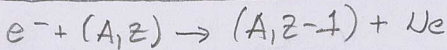


$$m(A, z) > m(A, z-1) + m_e \quad \mapsto$$

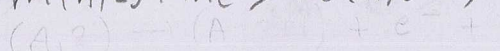
$$m(A, z) + z m_e > m(A, z-1) + (z-1) m_e + 2 m_e$$

$$\boxed{\mu(A, z) > \mu(A, z-1) + 2 m_e}$$

CATTURA ELETTRONICA



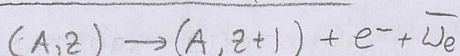
$$m(A, z) + m_e > m(A, z-1)$$



$$m(A, z) + (z-1) m_e + m_e > m(A, z-1) + (z-1) m_e$$

$$\boxed{\mu(A, z) > \mu(A, z-1)}$$

DECADIMENTO β^-



$$m(A, z) > m(A, z+1) + m_e^-$$

$$\boxed{\mu(A, z) > \mu(A, z+1)}$$

$$m(A, z) + z m_e > m(A, z+1) + z m_e + m_e$$

$$\boxed{\mu(A, z) > \mu(A, z+1)}$$

D) Nel esistono nuclei stabili con $A=5$ ed $A=8$

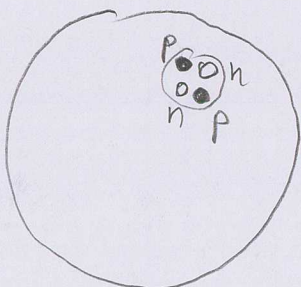
Esistono configurazioni di nucleoni particolarmente stabili.
(chiusure di "shells" — come avviene per gli elettroni negli atomi).

Uno di queste configurazioni è lo "PARTICELLA α = nucleo di ${}^4\text{He}$ "

$$A = 4$$

$$Z = 2$$

$$N = 2$$



I nuclei tendono a rompersi emettendo
PARTICELLE $\alpha \rightarrow$ DECADIMENTI α

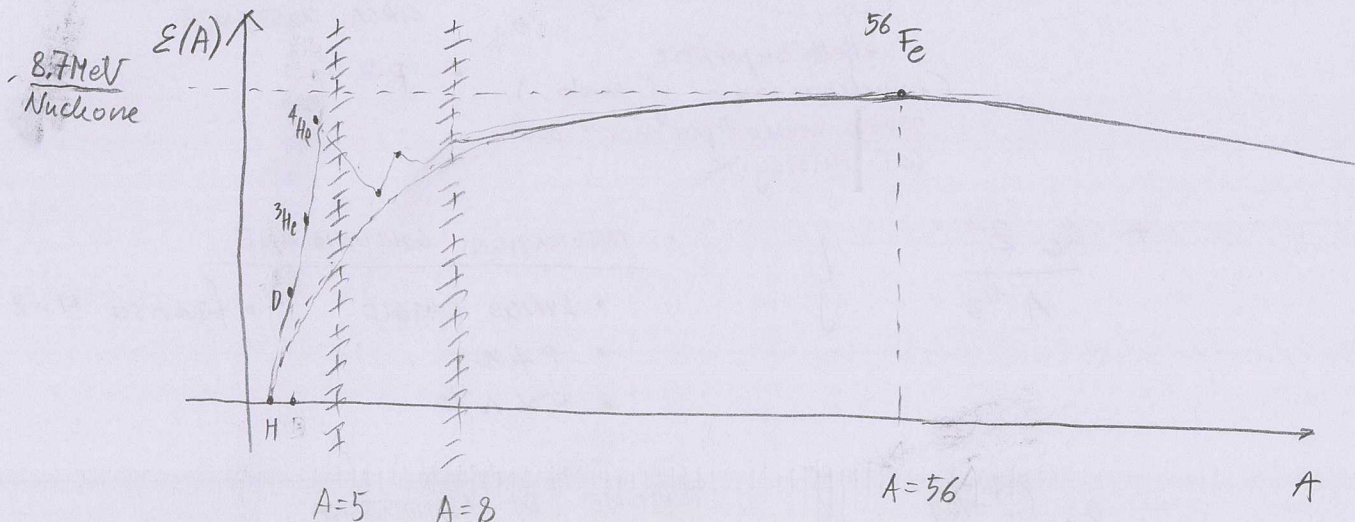
Se forniamo un nucleo $A=5$, questo si rompe immediatamente in $A=4 + A=1$; un nucleo $A=8$ si rompe in due nuclei con $A=4$

→ CONSEGUENZE PER ASTROFISICA E COSMOLOGIA

E) Energia di legame per nucleone (di nuclei stabili)

$$m(A, Z) = Z m_p + (A-Z) m_n - \frac{B(A, Z)}{c^2}$$

$$\epsilon(A) = \frac{B(A, Z)}{A} = \text{energia di legame per nucleone}$$



Notiamo che:

- Andamento più irregolare per valori piccoli di A . Legato a come si distribuiscono protoni e neutroni tra i possibili stati quantistici ("shell"). Il nucleo di ${}^4\text{He}$ corrisponde ad un massimo locale di $\epsilon(A)$ pari a circa 7 MeV/nucleone.
- Andamento regolare per valori di A intermedi e grandi. Esiste un massimo per la funzione $\epsilon(A)$

$$\overset{\text{MAX}}{\epsilon(A)} \approx 8.7 \text{ MeV/Nucleone}$$

$$A_{\max} = 56 \quad \xrightarrow{\text{---}} {}^{56}\text{Fe} = \text{NUCLEO PIÙ FORTEMENTE LEGATO ESISTENTE IN NATURA.}$$

L'andamento della funzione $E(A) \equiv B(A, Z)/A$ può essere spiegato qualitativamente dalle considerazioni precedentemente discusse

FORMULA SEMI-EMPIRICA DI MASSA

... come una "goccia" di liquido ...

$$B(A, Z) = \left\{ a_v A - \underbrace{a_s A^{2/3}}_{\text{effetti superficiali}} + \right\} -$$

(i nucleoni vicini al bordo)
hanno meno "partner" con cui interagire

$$+ \frac{a_c Z^2}{A^{1/3}}$$

$$- q_A \frac{(Z-N)^2}{A}$$

+ ...

INTERAZIONI FORTI:

- CORTO RAGGIO
- DISTANZA TRA NUCLEONI CIRCA COSTANTE
- $p \approx n$

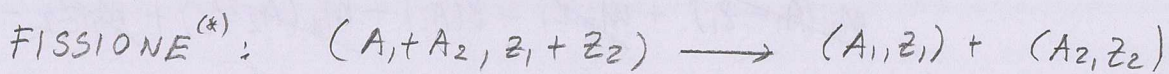
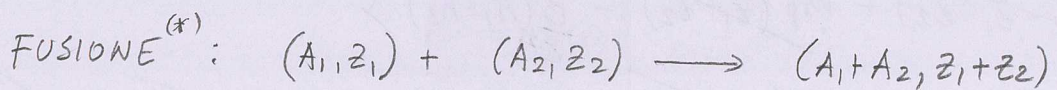
INTERAZIONI COULOMBIANE

- LUNGO RAGGIO • favorisce $N > Z$
- $p \neq n$
- $R \propto A^{1/3}$

TERMINE DI ASIMMETRIA

- PRINCIPIO DI ESCLUSIONE DI PAULI
- favorisce configurazioni $Z=N$

- È possibile che i nuclei "reagiscono" attraverso processi di:



Quale condizione devono verificarsi affinché questi processi rilascino energia?

FUSIONE:

$$m(A_1, Z_1) + m(A_2, Z_2) > m(A_1+A_2, Z_1+Z_2)$$

$$(A_1 - Z_1) m_n + Z_1 m_p - \frac{B(A_1)}{c^2} + (A_2 - Z_2) m_n + Z_2 m_p - \frac{B(A_2)}{c^2} > (A_1 + A_2 - Z_1 - Z_2) m_n + (Z_1 + Z_2) m_p - \frac{B(A_1 + A_2)}{c^2}$$

$$B(A_1 + A_2) > B(A_1) + B(A_2)$$

$$\varepsilon(A_1 + A_2) \cdot (A_1 + A_2) > \varepsilon(A_1) \cdot A_1 + \varepsilon(A_2) \cdot A_2$$

Notiamo che se la funzione $\varepsilon(A)$ è CRESCENTE:

$$\varepsilon(A_1 + A_2) > \text{MAX}[\varepsilon(A_1), \varepsilon(A_2)]$$



$$\varepsilon(A_1 + A_2) \cdot (A_1 + A_2) > \text{MAX}[\varepsilon(A_1), \varepsilon(A_2)] \cdot (A_1 + A_2) > \varepsilon(A_1) \cdot A_1 + \varepsilon(A_2) \cdot A_2$$



Possiamo produrre energia ($\frac{\text{qualeche MeV}}{\text{Nucleone}}$) fondendo nuclei leggeri

(*) Possono eventualmente esser accompagnati da altre particelle nello stato iniziale e finale

FISSIONE:

$$m(A_1+A_2, z_1+z_2) > m(A_1, z_1) + m(A_2, z_2)$$

$$\cancel{m_n(A_1+A_2-z_1-z_2)} + \cancel{m_p(z_1+z_2)} - \frac{B(A_1+A_2)}{c^2} >$$

$$\cancel{m_n(A_1-z_1)} + \cancel{m_p z_1} - B(A_1) + \cancel{m_n(A_2-z_2)} + \cancel{m_p z_2} - \frac{B(A_2)}{c^2}$$

$$B(A_1) + B(A_2) > B(A_1+A_2)$$

$$\varepsilon(A_1) \cdot A_1 + \varepsilon(A_2) \cdot A_2 > \varepsilon(A_1+A_2) \cdot (A_1+A_2)$$

Se la funzione $\varepsilon(A)$ è decrecente:

$$\varepsilon(A_1+A_2) < \min[\varepsilon(A_1), \varepsilon(A_2)]$$



$$\varepsilon(A_1) \cdot A_1 + \varepsilon(A_2) \cdot A_2 > \min[\varepsilon(A_1), \varepsilon(A_2)] (A_1+A_2) > \varepsilon(A_1+A_2) \cdot (A_1+A_2)$$



Possiamo produrre energia dalla fissione di nuclei pesanti ($\approx \frac{\text{MeV}}{\text{nucleone}}$)

FUSIONE

- Nuclei leggeri
- \approx qualche $\frac{\text{MeV}}{\text{nucleone}}$

- NO prodotti radioattivi

$\overline{\overline{\text{MA:}}}$

dobbiamo portare
due nuclei sufficientemente
vicini ($d \sim 1 \text{ fm}$) per
farli reagire

FISSIONE

- Nuclei pesanti

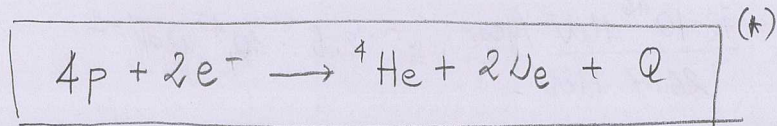
- $\approx \frac{\text{MeV}}{\text{nucleone}}$

- prodotti radioattivi
(i nuclei pesanti sono ricchi di protoni)

- possiamo indurle e controllarle

LA FUSIONE PUÒ AVVENIRE NELLE STELLE:

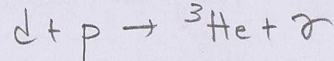
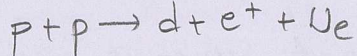
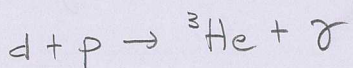
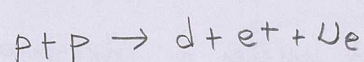
Ad esempio, nel Sole:



$$Q = 26.7 \text{ MeV}$$

In realtà, il processo (*) avviene attraverso una catena di reazioni più semplici. Il principale meccanismo nel Sole è:

CATENA PP I



N.B.

I positroni prodotti nelle reazioni PP annichiliscono con gli elettroni nel mezzo:
 $e^+ + e^- \rightarrow \gamma + \gamma$

ESERCIZIO

L'energia emessa dal sole nell'unità di tempo (Luminosità) è uguale alla energia prodotta nell'unità di tempo dalle reazioni nucleari (*).

Sappiamo che la luminosità è pari ad $L = 3.85 \times 10^{26} \text{ W} \approx 7 \times 10^{46} \text{ MeV/year}$ e che ogni volta che avviene il processo (*) viene liberata una quantità di energia $Q = 26.7 \text{ MeV}$, calcolare:

- Quanti nuclei di elio-4 vengono prodotti ogni anno nel Sole;
- Quanti protoni (i.e. nuclei di idrogeno) vengono consumati nel Sole;
- Quanto tempo impiegherebbe il Sole (se mantenesse la sua luminosità costante) ad esaurire l'idrogeno ($M_\odot \approx 2 \cdot 10^{30} \text{ kg}$ - n'anno che n'è inizialmente composto solo da idrogeno);
- Qual è il flusso di neutrini prodotto dal sole sulla terra (si consideri che la distanza Sole-Terra è pari a $4 \text{ U.A.} = 1.495 \times 10^8 \text{ km}$);
- Qual è la relazione tra il flusso di radiazione e.m. prodotto dal Sole sulla Terra ed il flusso di neutrini.

$$L_0 \approx 7 \times 10^{46} \text{ MeV/year} \quad - \text{ consumo energetico}$$

- Per ogni nucleo di elio-4 prodotto, viene liberata una energia $Q = 26.7 \text{ MeV}$

$$\frac{dN_{\text{He}}}{dt} = \frac{L_0}{Q} = \frac{7 \cdot 10^{46} \text{ MeV/year}}{26.7 \text{ MeV}} \approx 2.6 \cdot 10^{45} \text{ year}^{-1}$$

- N.B. -
$$\begin{aligned} Q &= (4m_p + 2m_e - m_{^4\text{He}})c^2 \\ &= (4m_p + 2m_e - 2m_p - 2m_n)c^2 + B(^4\text{He}) \\ &= \underbrace{2(m_p - m_n)c^2}_{-2 \times 1.3 \text{ MeV}} + \underbrace{2m_ec^2}_{1 \text{ MeV}} + \underbrace{\varepsilon(^4\text{He}) \cdot 4}_{\sim \frac{7 \text{ MeV}}{\text{Nucleone}} \times 4} \end{aligned}$$

- Per ogni nucleo di elio-4 vengono consumati 4 nuclei di idrogeno:

$$\frac{dN_H}{dt} = -4 \frac{dN_{\text{He}}}{dt} \approx -10^{46} \text{ year}^{-1}$$

Se ipotizziamo che il sole sia prevalentemente composto di idrogeno:

$$N_H = \frac{M_0}{M_p} \sim 1.2 \times 10^{57}$$

- Per esaurire l'idrogeno:

$$\left| \frac{dN_H}{dt} \right| \cdot t_{\text{esaur}} = N_H \rightarrow t_{\text{esaur}} = \frac{N_H}{\left| \frac{dN_H}{dt} \right|} = \frac{1.2 \times 10^{57}}{10^{46}} \text{ year} \approx 10^{11} \text{ year}$$

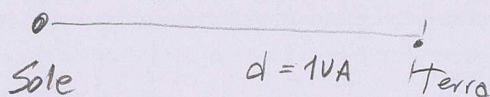
- N.B. - In realtà la combustione avviene solo al centro (e quindi coinvolge l'idrogeno presente al centro del Sole). Per esaurire l'idrogeno al centro sono necessari 10^{10} year.

- Per ogni nucleo di elio-4 prodotti, vengono emessi 2 neutrini:

$$\frac{dN_U}{dt} = 2 \frac{dN_{He}}{dt} = 2 \frac{L_\odot}{Q}$$

Questi neutrini escono dal Sole senza interagire e raggiungono la Terra:

L'emissione di neutrini è isotropa. Quindi:



$$F_U \cdot 4\pi d^2 = \frac{dN_U}{dt}$$

$$F_N = \frac{dN_U}{dt} \cdot \frac{1}{4\pi d^2} = \frac{2}{4\pi d^2} \frac{L_\odot}{Q}$$

FLUSSO DI
NEUTRINI SOLARI

$$\begin{aligned} F_U &= \frac{2 \cdot 2.6 \times 10^{45}}{4\pi \cdot (1.5)^2 \cdot 10^{16}} \text{ geor}^{-1} \text{ km}^{-2} \\ &= 1.8 \cdot 10^{28} \text{ geor}^{-1} \text{ km}^{-2} \\ &\approx 6 \cdot 10^{10} \text{ cm}^{-2} \text{ s}^{-1} \end{aligned}$$

- Consideriamo che:

$$F_U = \frac{2}{Q} \left(\frac{L_\odot}{4\pi d^2} \right) = \frac{2}{Q} F_{e.m.}$$



Questo quantità è il flusso di energia elettromagnetica (e trascuriamo l'energia portata via dai neutrini) sulla superficie terrestre.

COME E' POSSIBILE CHE LA FUSIONE AVVENGA NEL SOLE?

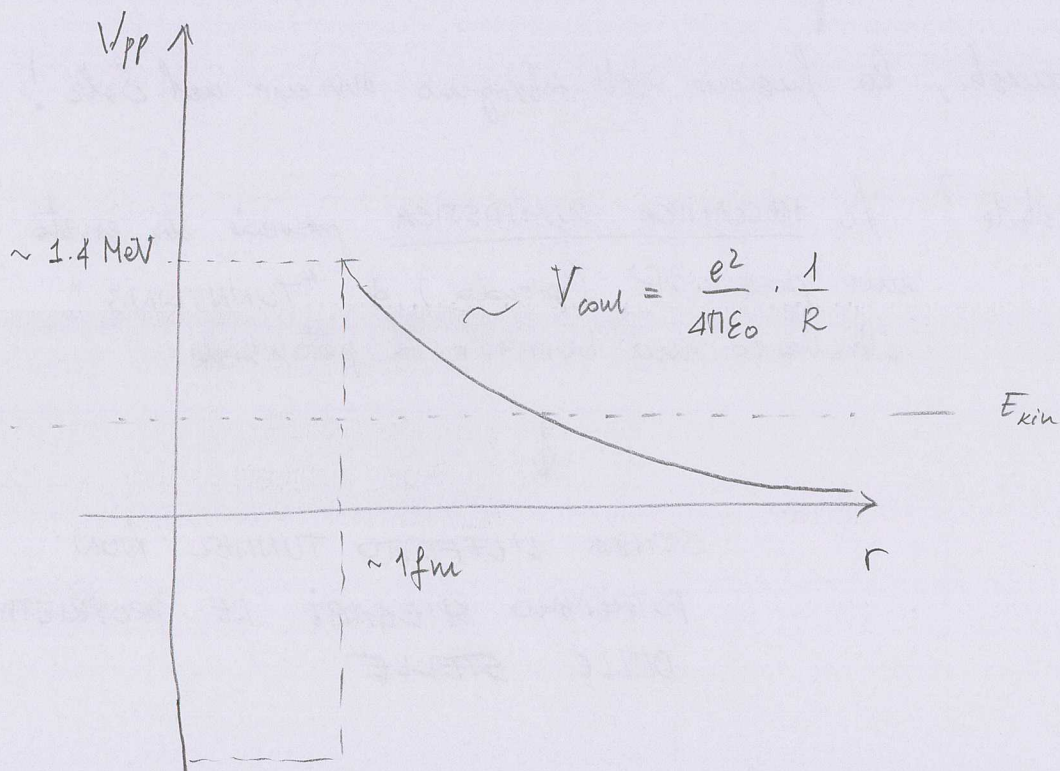
... o anche ...

PERCHE' I NUCLEI LEGGERI NON FONDONO "SPONTANEAMENTE"?

Es.



Le interazioni forti "dominano" a piccole distanze:



- Le barriere coulombiane (repulsione) impedisce ad i nuclei di avvicinarsi ($d \leq 1 \text{ fm}$) e sentire le interazioni forti;
- CLASSICAMENTE - Se l'energia della collisione E_{kin} < $\frac{1}{4\pi\epsilon_0} \frac{e^2}{(1 \text{ fm})}$ la reazione non puo' avvenire
- Quel e' l'energia di collisione di due protoni nel Sole? Possiamo stimarla sapendo che la temperatura centrale del Sole e' pari a $T_{\text{cent},0} \approx 1.5 \times 10^7 \text{ K}$

$$E_{kin} \sim \frac{3}{2} k_B T_{c,0} \sim \frac{3}{2} \cdot \left(\frac{1}{40} \text{ eV} \right) \cdot \left(\frac{T_{c,0}}{300} \right) = \frac{1.5}{2} \cdot \frac{1}{40} \text{ eV} \cdot \frac{3 \times 10^7}{3 \times 10^2} \sim 2 \cdot 10^3 \text{ eV}$$

$$k_B (T=300 \text{ K}) = \frac{1}{40} \text{ eV}$$

- NOTARE - L'energia di collisione $E_{kin} \approx 2 \cdot 10^3 \text{ eV}$ è molto minore
della energia necessaria per superare CLASSICAMENTE
la barriera Coulombiana $E_{oul} \sim \frac{e^2}{4\pi\epsilon_0} \cdot \frac{1}{1 \text{ fm}} \sim 10^6 \text{ eV}$

Nonostante questo, la fusione dell'idrogeno avviene nel Sole !

Come è possibile? Lo MECCANICA QUANTISTICA prevede che esiste
una possibilità (piccola) di "TUNNELING"
attraverso una barriera di potenziale



SENZA L'EFFETTO TUNNEL NON
POTREMMO SPIEGARE LE PROPRIETÀ
DELLE STELLE